

## НЕОДНОРОДНОСТИ КАК РЕЗУЛЬТАТ РАСТЯЖЕНИЯ ПОЛИМЕРНЫХ СЕТОК

С.В.Панюков

Физический институт им.П.Н.Лебедева РАН  
117924 Москва, Россия

Поступила в редакцию 19 мая 1993 г.

С помощью метода реплик вычислена функция ориентационного распределения цепей полимерных сеток, подвергнутых заданному растяжению или набуханию.

Завораживающий успех классической теории высокоэластичности [1,2] привел к широкому распространению представления об аффинности растяжения цепей полимерной сетки пропорциональному изменению размеров образца. В отсутствие неоднородностей в условиях синтеза распределение плотности в такой сетке остается однородным даже после ее аффинного растяжения. Гипотеза аффинности была поставлена под сомнение современными нейтронными экспериментами [3], для объяснения которых привлекалась модель сетки, состоящей из кластеров с повышенной плотностью сшивок и "дырок" между ними. При растяжении сетки кластеры аффинно расходятся друг относительно друга, не меняя при этом своей формы и размеров.

Вследствие неоднозначности трактовки нейтронные эксперименты не столько прояснили физическую картину растяжения сеток, сколько ужесточили позиции различных исследователей, часть которых приписывает наблюдаемые эффекты обычным термодинамическим флуктуациям плотности пространственно-однородных сеток [4]. Наряду с общетеоретическим интересом вопрос о наличии неоднородностей является фундаментальным и с точки зрения промышленного синтеза полимерных материалов с заданными упругими и прочностными характеристиками. Вероятность разрыва цепочки, состоящей из  $l$  звеньев размера  $a$ , можно характеризовать ее степенью растяжения  $h_\mu = R_\mu^2/2a^2l$ , где  $R_\mu$  – расстояние между концами цепи (ее сшивками с другими цепями сетки) вдоль направления координатных осей  $\mu = x, y, z$ .

В этой работе мы вычислим функцию ориентационного распределения

$$w_l(h_\mu) = \langle \prod_{\mu} \delta(h_\mu - R_\mu^2/2a^2l) \rangle \quad (1)$$

гауссовых цепей фантомных сеток, полученных путем мгновенной сшивки (вулканизации) линейных цепочек в пространственно-однородной "начальной" системе. Усреднение в (1) производится по гиббсовской мере и по всем цепям сетки. Вследствие случайного характера образования сшивок такие цепи имеют различную длину  $l$ . Функция распределения (1) описывает также данные по ядерному магнитному резонансу. Для определения модуля потерь эластомеров [5] ее следует усреднить по функции распределения  $f(l) = \bar{l}^{-1} \exp(-l/\bar{l})$  чисел  $l$  звеньев элементарных цепей сетки.

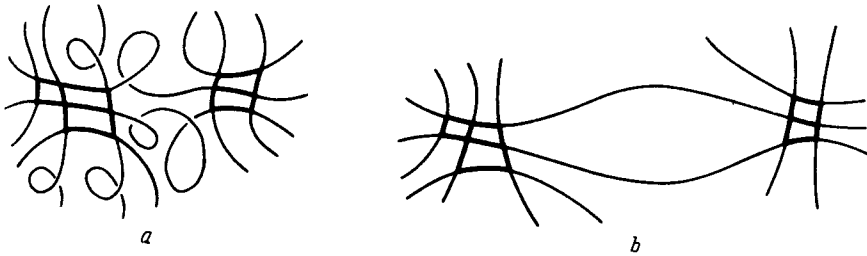
Полученное нами выражение для сетки, растянутой относительно условий

синтеза в  $\lambda_\mu$  раз вдоль осей  $\mu = x, y, z$ ,

$$w_l(h_\mu) = \int_0^\infty d\sigma P(\sigma) \prod_\mu \left( \frac{\alpha_\mu}{\pi h_\mu} \right)^{1/2} \exp(-\alpha_\mu h_\mu), \quad (2)$$

$$\alpha_\mu = (\sigma + a^2 l) / (\sigma + a^2 l \lambda_\mu^2), \quad \int_0^\infty d\sigma P(\sigma) = 1,$$

поддерживает предложенную в [3] качественную модель сетки. Функция  $P(\sigma)$  имеет смысл вероятности распределения кластеров по среднему квадрату их размеров  $\sigma = \langle R_{cl}^2 \rangle$ . Короткие цепочки с размером  $a^2 l \ll \sigma$  входят в состав таких кластеров, и в соответствии с (2) они не деформируются при растяжении сетки. Достаточно длинные цепи с  $a^2 l > \sigma$ , расположенные в промежутках между кластерами, испытывают аффинную деформацию. Как показано на рисунке, однородное в условиях синтеза распределение плотности становится существенно неоднородным при растяжении такой сетки.



Случайно сшитые полимерные сетки в начальной системе в условиях синтеза (а) и в конечной растянутой системе в условиях эксперимента (б). Жирными линиями выделены короткие цепочки входящие в состав слабо деформирующихся кластеров

Для нахождения функций распределения (1) введем их производящую функцию

$$W_t(k_\mu) = \langle \sum \exp(-tl + i \sum_\mu k_\mu h_\mu) \rangle = - \frac{1}{T} \frac{dF(\epsilon)}{d\epsilon} \Big|_{\epsilon=0}, \quad (3)$$

где сумма идет по всем цепям сетки и  $T$  - температура. Мы обозначили через  $F(\epsilon)$  свободную энергию сетки, в которой каждая цепочка характеризуется функцией  $G^\epsilon$  распределения расстояний между ее концами:

$$G_i^\epsilon(\mathbf{R}) \equiv G^0 + \epsilon G' = (2\pi a^2 l)^{-3/2} \exp(-R^2/2a^2 l) \cdot [1 + \epsilon \exp(-tl + i \sum_\mu k_\mu R_\mu^2/2a^2 l)]. \quad (4)$$

Химическая структура вулканизированной сетки характеризуется набором чисел  $s = \{s_i^j\}$ , определяющих номера  $s_i^j$  звеньев сшивок цепей  $i$  и  $j$ . В случае равновесного сшивания вероятность заданного набора  $s$  пропорциональна статистической сумме  $Z^0(s)$  системы в условиях синтеза

$$p(s) = \frac{z^N w^{N_c}}{N! N_c!} Z^0(s) / \sum_{NN_c} \int ds \frac{z^N w^{N_c}}{N! N_c!} Z^0(s), \quad (5)$$

где  $z$  и  $w$  – активности мономерных звеньев и шивков, а  $N$  и  $N_c$  – их числа. Средняя свободную энергию сетки с вероятностью (5), находим

$$F(\epsilon) \equiv -T \sum_{NN_c} \int dsp(s) \ln Z^\epsilon(s) = \left. \frac{dF_m(\epsilon)}{dm} \right|_{m=0}, \quad (6)$$

$$\exp[-F_m(\epsilon)/T] = \sum_{NN_c} \int ds \frac{z^N}{N!} \frac{w^{N_c}}{N_c!} Z^0(s) [Z^\epsilon(s)]^m. \quad (7)$$

Для упрощения вычислений пренебрежем взаимодействием звеньев полимерных цепей. Тогда при целых  $m$  каждая цепочка вносит в (7) вклад, равный усредненному по длине  $l$  цепи произведению соответствующих корреляционных функций (4) реплик  $k = 0, 1, \dots, m$ :

$$G_m(\mathbf{X}) = \int_0^l dl f(l) G_1^0(\mathbf{x}^0) G_1^\epsilon(\mathbf{x}^1) \dots G_1^\epsilon(\mathbf{x}^m), \quad f(l) = z^l. \quad (8)$$

Заметим, что выражение (7) является рядом теории возмущений по параметру  $w$  функционального интеграла:

$$\exp[-F_m(\epsilon)/T] = \int D\varphi \exp \left\{ - \int dX \left[ \frac{1}{2} \varphi G_m^{-1} \varphi - \frac{w}{4} \varphi^4 \right] \right\}. \quad (9)$$

Здесь компоненты вектора  $X$  являются совокупностью координат  $(x^0, x^1, \dots, x^m)$  всех реплик. Учет взаимодействия в каждой из них сводится к добавлению энергий взаимодействия звеньев в (9) и к перенормировке средней длины  $\bar{l} = |\ln z|^{-1}$  цепей в (8). Такие перенормировки не существенны при вычислении функций (3).

В пренебрежении флуктуациями поля  $\varphi(X)$  интеграл (9) вычисляется методом перевала. В случае  $\epsilon = 0$  имеется автомодельное решение перевальных уравнений со спонтанно нарушенной трансляционной симметрией [6]:

$$\varphi(\mathbf{X}) = (w\bar{l})^{-1/2} \chi[(\mathbf{X}^\perp)^2/2a^2\bar{l}], \quad (10)$$

которое зависит только от компонент  $X^\perp$  вектора  $X$ , перпендикулярных направлениям

$$\begin{aligned} \mathbf{E}_x &= (e_x, 0, 0), & \mathbf{E}_y &= (0, e_y, 0), & \mathbf{E}_z &= (0, 0, e_z), \\ e_\mu &= (1, \lambda_\mu, \dots, \lambda_\mu) / (1 + m\lambda_\mu^2)^{1/2}. \end{aligned} \quad (11)$$

Безразмерная функция  $\chi(t)$  в (10) является при  $m \rightarrow 0$  решением уравнения

$$t\chi''(t) = \chi(t) - \chi^3(t), \quad \chi(0) = 1, \quad \chi(t \rightarrow \infty) \propto t^{1/4} \exp(-2t^{1/2}). \quad (12)$$

Подставляя полученное решение (10) в (9), в первом порядке по  $\epsilon$  находим

$$F_m(\epsilon) - F_m(0) = -\frac{\epsilon T}{2} \sum_{k=1}^m \int dX \varphi G_m^{-1} G'^k G_m^{-1} \varphi = -\frac{\epsilon T}{2w^2} \sum_{k=1}^m \int dX \varphi^3 G'^k \varphi^3, \quad (13)$$

где при получении второго равенства было использовано перевальное условие (9), а функция  $G'^k$  определена в (4) с  $\mathbf{R} = \mathbf{x}^k$ . Интеграл (13) вычисляется

переходом в Фурье-представление. Фурье-компонента функции  $\varphi^3(X)$  (10) в пределе  $m \rightarrow 0$  равна  $(w\bar{l})^{-3/2}\kappa(q)$ , где

$$\kappa(q) = 1 - aq(2\bar{l})^{1/2} \int_0^\infty dx \chi^3(x) J_1[aqx(2\bar{l})^{1/2}] \quad (14)$$

и  $J_1(x)$  – функция Бесселя. Введем также функцию  $P(\sigma)$  с помощью преобразования Лапласа:

$$\int_0^\infty d\sigma P(\sigma) e^{-\sigma q^2} = \kappa^2(q). \quad (15)$$

В выражении (13) сумма сводится к умножению на  $m$ . Поэтому в соответствии с (6) коэффициент перед множителем  $-\epsilon m T$  совпадает с искомой производящей функцией (3). Выполняя в (3) обратное преобразование Лапласа по  $t$  и Фурье по  $k_\mu$ , находим окончательное выражение (2).

Отметим существенное количественное отличие результатов строгого расчета от качественной модели [3]. В [3] предполагалось, что кластеры имеют размеры, большие по сравнению с характерным размером  $a\bar{l}^{1/2}$  элементарной ячейки сетки. В действительности число таких кластеров экспоненциально мало:

$$P(\sigma) = \frac{\text{const}}{a^2\bar{l}} \left(\frac{a^2\bar{l}}{\sigma}\right)^{1/3} \exp\left[-\frac{3}{2} 9^{2/3} \left(\frac{\sigma}{a^2\bar{l}}\right)^{1/3}\right]. \quad (16)$$

Для нахождения асимптотики (16) мы рассматривали  $\kappa(q)$  как аналитическую функцию комплексной переменной  $z = q^2$ . Ее мнимая часть при  $z < 0$  в пределе  $|z| \rightarrow 0$  находится вычислением интеграла (14) методом перевала с помощью асимптотики  $t \rightarrow \infty$  функции  $\chi(t)$  (12). Сравнивая результат вычислений с соответствующим перевальным значением интеграла (15), получаем (16). При  $\sigma = 0$  функция  $P(\sigma)$  достигает максимума  $P(0) = 9(\chi'(0))^2/2a^2\bar{l}$ , который находится из уравнений (14) и (15) в пределе  $z \rightarrow \infty$ . Дифференцируя эти уравнения по  $z$  при  $z = 0$ , находим среднеквадратичный размер кластера:

$$\langle R_{cl}^2 \rangle \equiv \int_0^\infty d\sigma \sigma P(\sigma) = 2a^2\bar{l} \int_0^\infty dx x \chi^3(x) \approx 0, 2a^2\bar{l}. \quad (17)$$

Таким образом, большинство кластеров имеют размер, малый по сравнению с характерным размером ячейки сетки.

Итак, мы показали, что растяжение случайно сшитых сеток приводит вследствие нарушения аффинности к появлению в них сильных пространственных неоднородностей. В то же время упругость таких сеток хорошо описывается [6] классической теорией высокоэластичности, основанной на гипотезе аффинности. Таким образом, макроскопическая упругость не отражает достаточно сложного характера растяжения полимера. Это связано с рассмотрением гауссовых сеток, свободная энергия которых выражается только через первый момент  $\langle h_\mu \rangle$  распределения (1), который согласно (2) является линейной функцией  $\lambda_\mu^2$ . В случае достаточно сильных деформаций  $\lambda_\mu > \bar{l}^{1/2}$  становятся существенными высшие моменты этого распределения, и упругие характеристики сетки зависят от ее микроструктуры. Пространственные неоднородности

появляются также [7] и при растяжении слабосшитых сеток с  $\bar{l} > N_e \sim 200$ , когда следует принимать во внимание эффекты топологических ограничений.

Автор выражает благодарность Т.Н.Хазановичу за полезные обсуждения.

- 
1. H.M.James and E.Guth, *J. Chem. Phys.* **2**, 455 (1973).
  2. P.Flory, *Principles of Polymer Chemistry*, Cornell Univ. Press, Ithaca, N.Y., 1971.
  3. J.Bastide, L.Leibler, and J.Prost, *Macromolecules* **23**, 1821 (1990).
  4. Y.Rabin and R.Bruinsma, *Europhys. Lett.* **20** (1), 79 (1992).
  5. I.P.Borodin and T.N.Khazanovich, *Polymer* **27**, 1044 (1986).
  6. С.В.Панюков, *Письма в ЖЭТФ* **55**, 583 (1992).
  7. С.В.Панюков, *ЖЭТФ* **96**, 604 (1989).